

## تقريب كسري معدل لتابع زيتا الريمانى

الاء أبو العينين \* محمد الشيخ \*\* محمد نور شمة \*\*\*

### الملخص

قدمنا في هذه المقالة تعديلاً على متتالية من التوابع الكسرية المتقاربة موضعياً بانظام لتابع زيتا الريمانى، وجدنا بالنتائج العددية أن التقريب باستخدام التعديل الذي عرفناه يعطي خطأ أقل في التقريب وسرعة أكبر في الوصول إلى النتائج المطلوبة بالإضافة إلى أن مجال التقارب في الطريقة المقدمة في هذه المقالة أكبر. وقمنا بحساب جميع النتائج العددية ورسم التوابع باستخدام البرنامج الحاسوبي ما�ماتيكا 10.0.

**الكلمات المفتاحية:** تابع زيتا الريمانى، فرضية ريمان، المستقيم الحرج، تقريب كسري.

**التصنيف الرياضياتي(2010):** 11M26, 41A20

\* طالبة دكتوراه، قسم الرياضيات، كلية العلوم، جامعة دمشق.

\*\* أستاذ مساعد، قسم الرياضيات، كلية العلوم، جامعة دمشق.

\*\*\* أستاذ، قسم العلوم الأساسية، كلية الهندسة الميكانيكية والكهربائية، جامعة دمشق والجامعة العربية الدولية (AIU)

# A improving fractional approximation to the Riemann zeta function

**A. Abuinen<sup>\*</sup>, M. Alcheikh<sup>\*\*</sup>, M. N. Shamma<sup>\*\*\*</sup>**

## Abstract

In this article, we presented an improvement to a locally uniformly approximation of Riemann zeta function, and we found in the numerical results that the approximation using the adjustment we defined gives a lower error in approximation and velocity in reaching the required results, and the domain of convergence in the method presented in this article is greater. We calculated all numerical results using Wolfram Mathematica 10.0.

**Keywords:** Riemann Zeta Function, Riemann Hypothesis, Critical Line, Rational Approximation.

**2010 Mathematics Subject Classification:** 11M26, 41A20 .

---

<sup>\*</sup> PhD., Student, <sup>(2)</sup> Associate Professor, Department of Mathematics,

<sup>\*\*</sup> Faculty of Sciences, Damascus, <sup>(3)</sup> Professor, Basic Sciences Department,

<sup>\*\*\*</sup> Faculty of Mechanical Engineering and Electrical , and Arab International University(AIU).

## 1. مقدمة:

نظراً لأهمية تابع زيتا وتطبيقاتها في العصر الراهن وفرضية ريمان حول أصفار التابع زيتا الريمانى التي كانت ومازالت عصية الحل على العلماء، قمنا في هذه المقالة بدراسة متتالية من التابع الكسرية المتقاربة موضعياً بانتظام لتابع زيتا الريمانى والمعرفة في المقالة [1]، ولكن لاحظنا أثناء الحسابات أن هذه الطريقة تتطلب وقتاً كبيراً لبناء التقرير، حيث إن هذا الوقت يزداد بازدياد مرتبة التقرير والتعقيد الحسابي الناتج، بالإضافة إلى أن طول مجال التقارب على المستقيم الحرج الذي يحوي أصفار التابع زيتا صغير جداً وهو يكبر بشكل بطيء عند ازدياد مرتبة التقرير، ومنه تعاني هذه الطريقة صعوبة بالغة في دراسة أصفار التابع زيتا حيث نحتاج في ذلك مراتب تقرير عالية جداً، فمثلاً وجدنا بالحسابات العددية في هذه المقالة أنه لإيجاد تابع متقارب نحو التابع زيتا في مجال يحوي الصفر الأول لتابع زيتا، يجب أن تكون مرتبة التقارب أكبر من 1,3 مليون. لذا قدمنا في مقالتنا هذه تعديلاً لخوارزمية التقرير السابقة، ليصبح التقرير أفضل من حيث:

أولاً: التقرير المعدل يعطي تقريراً بخطأ أقل وبسرعة أكبر.

ثانياً: التقرير المعدل يعطي نتائج تقريرية أفضل وفي مجال أكبر.

ومع ذلك لم نتمكن من الوصول إلى أصفار تابع زيتا الريمانى، لأن الطريقة بعد التعديل ما زالت بطيئة وتحتاج إلى حواسيب ضخمة ومعالجات سريعة للوصول إلى الأصفار، حيث إن تابع التقرير يزداد تعقيداً بازدياد مرتبة التقرير، ولا يمكن معالجة المراتب العالية جداً باستخدام حواسيب شخصية، إلا أن التعديل الذي

قدمناه أعطى سرعة إضافية هامة، ودقة أكبر في التقريب، ويمكن استثماره للوصول إلى تقريب أفضل لتابع زيتا وبشكل خاص عند المستقيم الحرج الذي يُعد مركز اهتمام الكثير من العلماء بهدف التعرف أكثر على الخواص التحليلية لتابع زيتا الريمانى عند هذا المستقيم والوصول إلى حل لفرضية ريمان.

## 2. تعاريف ومفاهيم أساسية:

### 2\_1. تابع زيتا الريمانى

يُعرف تابع زيتا الريمانى بمتغير عقدي  $s$  كما يلي:

$$\zeta(s) = \sum_{n=1}^{+\infty} \frac{1}{n^s}$$

وتقرب المتسلسلة في الطرف الأيمن بالإطلاق عندما  $\operatorname{Re}(s) > 1$  .[3,p11]

وتمكن ريمان من تعريف تمديد تحليلي لتابع زيتا على كامل المستوى العقدي ما عدا النقطة

$s = 1$  (التي تمثل قطبًا بسيطًا لـ  $\zeta$ ) كما يلي [3,p13]:

$$\zeta(s) = \frac{\pi^{\frac{s}{2}}}{\Gamma(\frac{s}{2})} \left( \frac{1}{s(s-1)} + \int_1^{+\infty} \left( x^{\frac{s}{2}-1} + x^{-\frac{s}{2}-\frac{1}{2}} \right) \left( \frac{\vartheta(x)-1}{2} \right) dx \right)$$

حيث  $\vartheta$  هو تابع تيتا لجاكوبى Jacobi theta function المعروف كما يلي:

$$\vartheta(x) = \sum_{n=-\infty}^{+\infty} e^{-n^2 \pi x}$$

و  $\Gamma$  هو تابع غاما العقدي الشهير وهو تحليلي على  $\mathbb{C}$  مع وجود أقطاب بسيطة عند النقاط الصحيحة غير الموجبة ... .[3,p13]  $s = 0, -1, -2, \dots$

يحقق تابع زيتا الريمانى العلاقة التالية [4,P10]:

$$\zeta(s) = 2^s \pi^{s-1} \sin\left(\frac{\pi s}{2}\right) \Gamma(1-s) \zeta(1-s); s \in C / \{1\}$$

والتي تسمى بالمعادلة التابعية.

## 2\_2 أصفار تابع زيتا الريمان [3]

لندرس حلول المعادلة التالية:

$$\zeta(s) = 0; s \in C / \{1\}$$

إذا كان  $1 > \operatorname{Re}(s)$  فإن  $\zeta(s) \neq 0$ .

إذا كان  $0 < \operatorname{Re}(s)$ ، نجد من المعادلة التابعية ما يلي:

بما أن  $0 < \operatorname{Re}(s) < 1$  فإن  $\operatorname{Re}(1-s) \neq 0$  ومنه  $\operatorname{Re}(1-s) > 0$  كما رأينا

سابقاً ولدينا أيضاً  $2^s \pi^{s-1} \Gamma(1-s) \neq 0$  لا تقبل أصفاراً، وبما أن:

$$\sin\left(\frac{\pi s}{2}\right) = 0 \Leftrightarrow s = -2k \quad k \in N^*$$

ومنه فإن تابع زيتا الريمان ينعدم عند النقاط الزوجية السالبة

$-8, -6, -4, -2$  ... وتسماً أصفاراً بدويهية [3,p14]. لتابع زيتا الريمان

لأنها تنتج بسهولة.

بقي لدينا المجال  $1 \leq \operatorname{Re}(s) \leq 0$  والذي يسمى بالمنطقة الحرجية ويسمى

المستقيم

$\operatorname{Re}(s) = \frac{1}{2}$  بالمستقيم الحرج [3,p15]، واثبت العالم Hardy أنه يوجد عدد

غير منتهٍ من الأصفار لـ  $\zeta$  واقعة على المستقيم الحرج [3,p26].

## 3\_2 فرضية ريمان Riemann Hypothesis

عام 1859 نشر ريمان مقالته [7] " حول عدد الأعداد الأولية الأقل من عدد

"معطى"

والتي ترجمت من الألمانية إلى اللغة الإنكليزية من قبل David R. Wilkins كما ورد في المرجع [3,126]، حيث وضع ريمان في مقالته السابقة نتائجه حول أصفار التابع  $\zeta$  غير البديهية وفرض أنها تملك جزءاً حقيقياً يساوي  $\frac{1}{2}$  [3,p15]. ولكن نتائجه كانت بدون برهان كامل، لذا سميت بفرضية ريمان، وإلى يومنا هذا لا يوجد برهان لهذه الفرضية وهي تُعدّ واحدة من أهم المسائل المفتوحة في الرياضيات وأعقدها على الإطلاق.

## 2\_4 تقريب تابع زيتا

نظراً لوجود العديد من خواص تابع زيتا الريمانى التحليلية مجهولة أو بدون برهان، بالإضافة لوجود العديد من المسائل المفتوحة حول تابع زيتا الريمانى، فإن إيجاد تقريب لتابع زيتا الريمانى بتتابع مألف يُعد خطوة هامة في معرفة خصائص التابع في المستوى العقدي وبشكل خاص عند المستقيم الحرج.

ولعل أهم الأعمال حول تقريب تابع زيتا الريمانى هو تعريف التابع-Riemann-Siegel، حيث تم بناء عدة خوارزميات اعتماداً على التابع-Riemann-Odlyzko-Siegel منها الخوارزمية المعروضة في المقالة [6,P5] وخوارزمية-Schonhage، والتي تم من خلالها إيجاد أول  $10^{13}$  صفر غير بديهي لتابع زيتا الريمانى من قبل العالم Gourdon عام 2004 كما ورد في المرجع [8,p2]. حيث يتم من خلال الخوارزميات السابقة بتقريب المستقيم الحرج لتابع زيتا الريمانى بالتتابع الحقيقي Riemann-Siegel، أي يتم تقريب التابع

$$\zeta\left(\frac{1}{2} + it\right)$$

فقط حيث  $t \in \mathbb{R}$ ، وليس التابع  $(s)$  حيث  $s \in \mathbb{C}$ .

عرضت المقالة [1,p1,2] تقريراً محلياً لتابع زيتا الريمانى على الساحة العقدية

بمتالية من التوابع الكسرية كما يلي:

من أجل  $m \geq 0$  ، عرفت الحدودية:

$$P_m(t) = (1-t)\left(1-\frac{t}{2}\right) \dots \left(1-\frac{t}{m}\right) = \prod_{j=1}^m \left(1-\frac{t}{j}\right)$$

ولتكن  $P_m(t)$  معملاً  $j = 0, \dots, m$  حيث  $P_m(t)$  بعد النشر، أي:

$$P_m(t) = \sum_{j=0}^m (-1)^j a_{m,j} t^j$$

وُعرف التابع:

$$F_m(s) = \sum_{j=0}^m \frac{a_{m,j} B_j}{s+j-1}$$

حيث  $B_j$  هي أعداد برنولي، والتي تُعطى من خلال النشر:

$$\frac{z}{e^z - 1} = \sum_{j=0}^{+\infty} \frac{B_j}{j!} z^j$$

$$\cdot B_0 = 1 \quad , \quad B_1 = -\frac{1}{2}$$

وُعرف أيضاً التابع:

$$G_m(s) = \sum_{j=0}^m \frac{(-1)^j a_{m,j}}{s+j-1}$$

إن التقرير الكسري من المرتبة  $m$  لتابع زيتا الريمانى يُعطى بالعلاقة:

$$Z_m(s) = \frac{F_m(s)}{G_m(s)(s-1)}$$

على سبيل المثال من أجل  $m = 3$

$$F_3(s) = \frac{1}{s-1} - \frac{11}{12s} + \frac{1}{6(s+1)} = \frac{3s^2+10s+11}{12(s-1)s(s+1)}$$

$$G_3(s) = \frac{1}{s-1} - \frac{11}{6s} + \frac{1}{s+1} - \frac{1}{6(s+2)} = \frac{s^2+6s+11}{3(s-1)s(s+1)(s+2)}$$

وتم في المقالة [1,p16] دراسة تقارب  $Z_m$  من  $\zeta$  وتم اثبات التقارب بانتظام في المنطقة  $Re(s) > 0$  (ما عدا النقطة  $s = 1$ ) عندما  $m \rightarrow +\infty$  مع تخمين أن التقارب صحيح على كامل المستوى العقدي [1,p16].

ويكون  $Z_m \left( \frac{1}{2} + it \right)$  تقريباً جيداً لتابع زيتا الريمانى  $\zeta$  عندما  $|t| < \frac{2}{\pi} \ln m$ . [1,p23]

على الرغم من التقارب المنتظم، إلا أنه وجدها بالنتائج العددية والحسابات الرقمية أن هذا الطريقة في التقرير بطيئة جداً في الحصول على تقرير لأصفار تابع زيتا الريمانى في المستقيم الحرج، حيث نعلم أن أول صفر لتابع زيتا على المستقيم الحرج هو  $0.5 + 14.13473i$  والصفر الثاني لتابع زيتا على المستقيم الحرج هو:  $0.5 + 21.02204i$  (الجزء التخيلي مقارب لأقرب خمس أرقام عشرية بعد الفاصلة) [5, p680].

ومنه فإن تقرير أول صفر للتابع زيتا الريمانى عند المستقيم الحرج باستخدام التابع  $Z_m$  ضمن المجال الذي يعطي نتائج جيدة [1,p 23] يكون من أجل  $m \geq \frac{2}{\pi} \ln 1376047$

وتقرير ثاني صفر للتابع زيتا الريمانى عند المستقيم الحرج باستخدام التابع  $Z_m$  يكون من أجل  $m \geq \frac{2}{\pi} \ln 21.02204$

**مثال (1)**

من أجل  $m = 5$ ، يكون:

$$P_5(s) = (1-s)\left(1-\frac{s}{2}\right)\left(1-\frac{s}{3}\right)\left(1-\frac{s}{4}\right)\left(1-\frac{s}{5}\right)$$

$$P_5(s) = 1 - \frac{137}{60}s + \frac{15}{8}s^2 - \frac{17}{24}s^3 + \frac{1}{8}s^4 - \frac{1}{120}s^5$$

: و

$$F_5(s) = \frac{1}{s-1} - \frac{137}{120s} + \frac{5}{16(1+s)} - \frac{1}{240(3+s)}$$

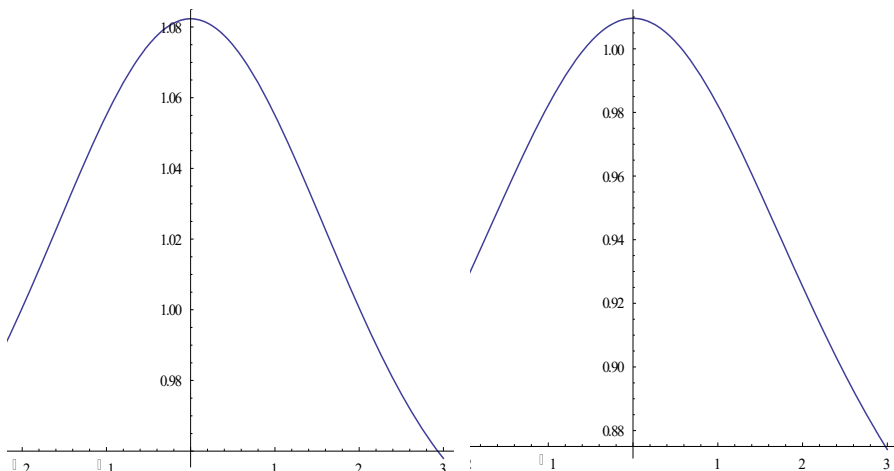
: و

$$G_5(s) = \frac{1}{s-1} - \frac{137}{60s} + \frac{15}{8(1+s)} - \frac{17}{24(2+s)} + \frac{1}{8(3+s)} - \frac{1}{120(4+s)}$$

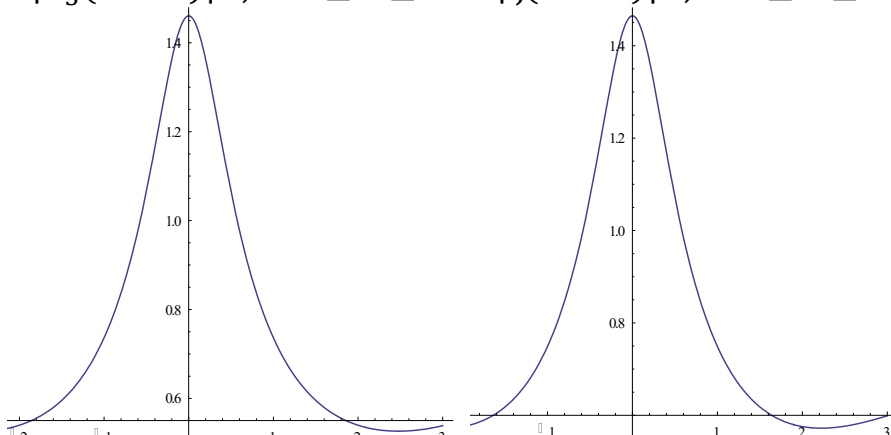
ومنه فإن:

$$Z_5(s) = \frac{\frac{1}{-1+s} - \frac{137}{120s} + \frac{5}{16(1+s)} - \frac{1}{240(3+s)}}{(s-1)\left(\frac{1}{s-1} - \frac{137}{60s} + \frac{15}{8(1+s)} - \frac{17}{24(2+s)} + \frac{1}{8(3+s)} - \frac{1}{120(4+s)}\right)}$$

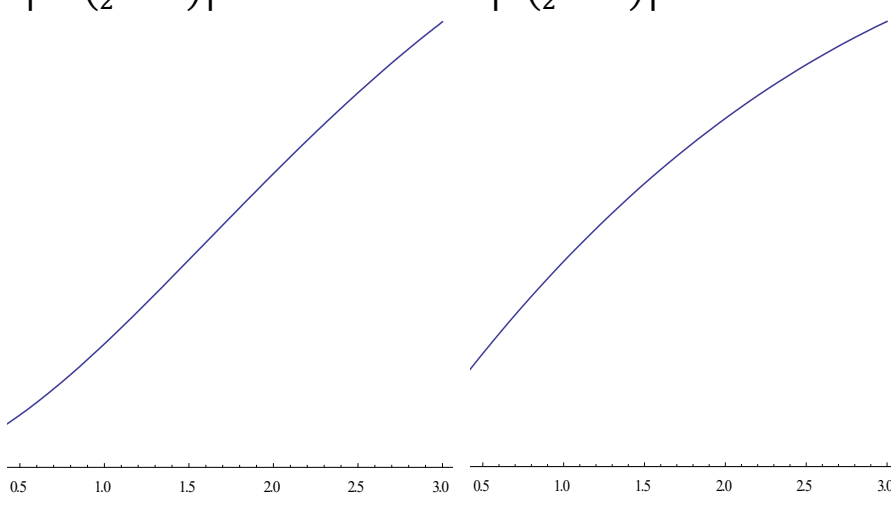
قمنا برسم الأشكال (1) والتي لاحظنا من خلالها تقارب  $Z_5$  من التابع زيتا الريمانى على مجالات حقيقية متعددة من خلال الرسم البيانى، وذلك لصعوبة المقارنة البيانية من أجل مجالات عقدية.



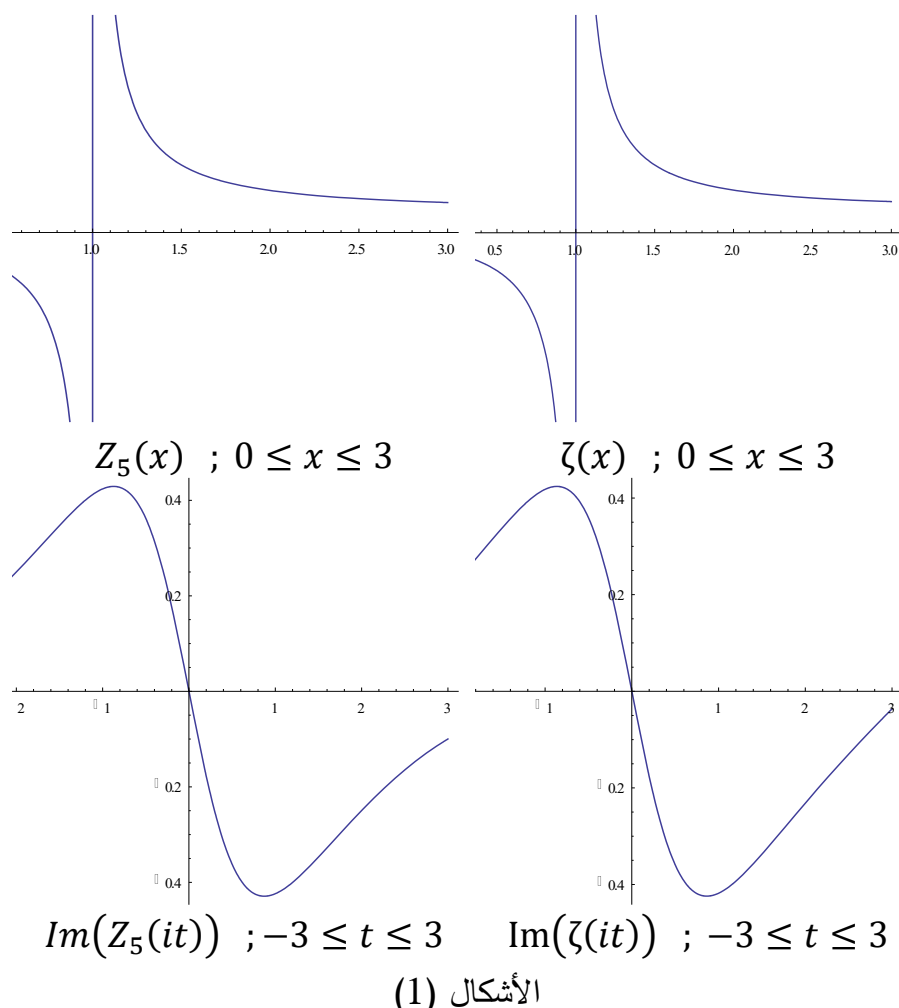
$$|Z_5(4 + it)| \ ; -3 \leq t \leq 3 \quad |\zeta(4 + it)| \ ; -3 \leq t \leq 3$$



$$\left| Z_5\left(\frac{1}{2} + it\right) \right| \ ; -3 \leq t \leq 3 \quad \left| \zeta\left(\frac{1}{2} + it\right) \right| \ ; -3 \leq t \leq 3$$



$$|Z_5(x + 5i)| \ ; 0 \leq x \leq 3 \quad |\zeta(x + 5i)| \ ; 0 \leq x \leq 3$$



الأشكال (1)

## 5\_2 تعريفتابع التقرير $Z_m^n$

قمنا في هذه المقالة بتعديل على تعريف التابع  $Z_m$  بإضافة وسيط  $n$  كما يلي:

بتعریف حدودیة من المرتبة  $N = m + n$  كما يلي:

$$P_N(t) = (1-t)\left(1-\frac{t}{2}\right) \dots \left(1-\frac{t}{m+n}\right) = \prod_{j=1}^{m+n} \left(1-\frac{t}{j}\right)$$

ولتكن  $P_N(t)$  معملاً  $j = 0, \dots, N$  حيث  $(-1)^j a_{m+n,j}$  أي:

$$P_N(t) = \sum_{j=0}^N (-1)^j a_{m,j} t^j$$

ولنأخذ أول  $m$  معملاً من معملات  $P_N(t)$ . ولنعرف التابعين:

$$F_m^n(s) = \sum_{j=0}^m \frac{a_{N,j} B_j}{s+j-1}$$

$$G_m^n(s) = \sum_{j=0}^m \frac{(-1)^j a_{N,j}}{s+j-1}$$

وسنقوم فيما يلي بدراسة تقارب التابع الكسري من المرتبة  $m$  التالي:

$$Z_m^n(s) = \frac{F_m(s)}{G_m(s)(s-1)}$$

من تابع زيتا الريمانى.

مثلاً من أجل  $m = 3; n = 2$  نجد:

من أجل  $m = 5$ , يكون:

$$P_{3+2}(s) = (1-s)\left(1-\frac{s}{2}\right)\left(1-\frac{s}{3}\right)\left(1-\frac{s}{4}\right)\left(1-\frac{s}{5}\right) =$$

$$P_5(s) = 1 - \frac{137}{60}s + \frac{15}{8}s^2 - \frac{17}{24}s^3 + \frac{1}{8}s^4 - \frac{1}{120}s^5$$

وبأخذ المعملاً:

$$1, \frac{137}{60}, \frac{15}{8}, \frac{17}{24}$$

يكون:

$$F_3^2(s) = \frac{1}{-1+s} - \frac{137}{120s} + \frac{5}{16(1+s)}$$

: و

$$G_3^2(s) = \frac{1}{-1+s} - \frac{137}{60s} + \frac{15}{8(1+s)} - \frac{17}{24(2+s)}$$

ومنه فإن:

$$Z_3^2(s) = \frac{\frac{1}{-1+s} - \frac{137}{120s} + \frac{5}{16(1+s)}}{(s-1)\left(\frac{1}{-1+s} - \frac{137}{60s} + \frac{15}{8(1+s)} - \frac{17}{24(2+s)}\right)}$$

### 3 النتائج والمناقشة

ومن بين فيما يلي بالنتائج العددية أن التقرير باستخدام  $Z_m^n$  أفضل من التقرير باستخدام  $Z_m$ .

#### 2\_ التقرير في مستطيل ضمن المستوى العقدي

لدرس التقارب في نصف المستوى العقدي  $Re(s) > 0$  ما عدا النقطة  $s = 1$ .

وبدون مساس للعمومية سنقوم بدراسة الخطأ في المنطقة:

$$D = \{x + iy : 0 \leq x < 1 \vee 1 < x \leq 5, -5 \leq y \leq 5\}$$

ولتكن  $\| \cdot \|$  نظيم الفضاء  $C[D]$  فضاء التوابع المستمرة في المنطقة  $D$  [2,P1].

والقيم في الجدول (1) هي:

$$\|Z_m^n(s) - \zeta(s)\| = \max_{s \in D} |Z_m^n(s) - \zeta(s)|$$

وعندما  $n = 0$  تكون القيمة الموافقة في الجدول (1) هي:

$$\|Z_m(s) - \zeta(s)\| = \max_{s \in D} |Z_m(s) - \zeta(s)|$$

أي القيم في الجدول (1) هي مقدار الخطأ المرتکب في التقرير لأجل قيم مختلفات  $n, m$ .

وتم حساب قيم الخطأ باستخدام المقطع البرمجي التالي:

```
In[23]:= m = 15; n = 3; A := Table[Abs[CoefficientList[Product[(1 - t/i), t], {j, 1, m + 1}]], {i, 1, m}];  
F[t_] := Sum[A[[j + 1]] * BernoulliB[j], {j, 0, m}] / (t + 1);  
G[t_] := Sum[A[[j + 1]] * (-1)^j, {j, 0, m}] / (t + 1);  
Z[t_] := F[t] / (G[t] * (t - 1));  
NMaximize[{Abs[Z[x + y*I] - Zeta[x + y*I]], 0 < x < 5 && -5 < y < 5}, {x, y}][[1]]  
Out[27]= 0.213321
```

الجدول (1)

$n = 25$	$n = 15$	$n = 10$	$n = 5$	$n = 4$	$n = 3$	$n = 2$	$n = 1$	$n = 0$	$m = 10$
0.0824	0.1900	0.2069	0.2228	0.2267	0.2309	0.2357	0.2412	0.2474	$m = 10$
0.1897	0.1960	0.2057	0.2194	0.2229	0.2267	0.2309	0.2357	0.2412	$m = 11$
0.1733	0.193	0.2033	0.2162	0.2194	0.2229	0.2267	0.2309	0.2357	$m = 12$
0.1741	0.1913	0.2011	0.2133	0.2162	0.2194	0.2229	0.2267	0.2309	$m = 13$
0.1719	0.1894	0.1991	0.2105	0.2133	0.2162	0.2194	0.2229	0.2267	$m = 14$
0.1703	0.1876	0.1970	0.2080	0.2105	0.2133	0.2162	0.2194	0.2229	$m = 15$
0.1686	0.1858	0.1950	0.2056	0.2080	0.2105	0.2133	0.2162	0.2194	$m = 16$
0.1668	0.1840	0.1931	0.2033	0.2056	0.2080	0.2105	0.2133	0.2162	$m = 17$
0.1651	0.1823	0.1912	0.2011	0.2033	0.2056	0.2080	0.2105	0.2133	$m = 18$

0.1634	0.1806	0.1894	0.1990	0.2011	0.2033	0.2056	0.2080	0.2105	$m = 19$
0.1617	0.1788	0.1876	0.1970	0.1990	0.2011	0.2033	0.2056	0.2080	$m = 20$
0.1532	0.1703	0.1788	0.1876	0.1894	0.1912	0.1931	0.1950	0.1970	$m = 25$
0.1449	0.1617	0.1703	0.1788	0.1806	0.1823	0.1841	0.1858	0.1876	$m = 30$
0.1144	0.1289	0.1367	0.1449	0.1465	0.1482	0.1499	0.1516	0.1532	$m = 50$
0.0665	0.0733	0.0771	0.0813	0.0822	0.0831	0.0840	0.0849	0.0858	$m = 10$

نلاحظ من الجدول (1) ما يلي:

- 1\_ من أجل  $m$  مثبتة و  $n$  متغيرة ، نلاحظ تناقص الخطأ بازدياد  $n$ .
- 2\_ من اجل  $n$  مثبتة و  $m$  متغيرة ، ليس من الضروري تناقص او تزايد الخطأ بازدياد  $m$  (لاحظ العمود  $n = 15$  والعمود  $n = 25$ ).
- 3\_ نلاحظ تقارب قيمة الخطأ عند  $m = a$ ,  $n = b$  من قيمة الخطأ عند  $.m = a - 1, n = b + 1$

ولاحظنا أيضاً أثناء حساب القيم في الجدول (1) أن التعقيد الحسابي والزمن اللازم للحصول على تابع التقرير عند  $m$  كبيرة نسبياً و  $n = 0$  يكون أكبر عند  $n$  كبيرة نسبياً و  $m$  صغيرة. وذلك لأن عدد الحدود في التقرير يعتمد على قيمة  $m$  ومنه بازدياد  $m$  يزداد التعقيد الحسابي.

على سبيل المثال: الزمن اللازم لبناء التابع  $Z_{100}$  هو 794.68469 ثانية، والزمن اللازم لبناء التابع  $Z_{10}^{25}$  هو 0.4992 ثانية. بالإضافة إلى أن الخطأ

الناتج عن التقريب باستخدام التابع  $Z_{100}$  أكبر من الخطأ الناتج عن التقريب باستخدام التابع  $Z_{10}^{25}$ .

وأيضاً الزمن اللازم لبناء التابع  $Z_{35}$  هو 1.531 ثانية، وهو أكبر من الزمن اللازم لبناء التابع  $Z_{10}^{25}$ . بالإضافة إلى أن الخطأ الناتج عن التقريب باستخدام التابع  $Z_{35}$  هو 0.17887 وهو أكبر من الخطأ الناتج عن التقريب باستخدام التابع  $Z_{10}^{25}$ .

حيث تم حساب الزمن باستخدام تعليمية Timing في برنامج الماثماتيكا.

### 3\_3 التقريب على المستقيم الحرج

سنقوم بمقارنة التقريب  $Z_m^n(s)$  والتقريب  $Z_m(s)$  لتابع زيتا الريمانى عندما  $s = \frac{1}{2} + it$  أي عن المستقيم الحرج وذلك في المجال الذي يعطي تقريباً جيداً للتابع وهو  $|t| < (2/\pi)\ln m$ . حيث القيم في الجدول (2) هي:

$$\left\| Z_m^n\left(\frac{1}{2} + it\right) - \zeta\left(\frac{1}{2} + it\right) \right\| = \\ \max_{|t| < (2/\pi)\ln m} \left| Z_m^n\left(\frac{1}{2} + it\right) - \zeta\left(\frac{1}{2} + it\right) \right|$$

وعندما  $n = 0$  تكون القيمة الموافقة في الجدول هي:

$$\left\| Z_m\left(\frac{1}{2} + it\right) - \zeta\left(\frac{1}{2} + it\right) \right\| = \\ \max_{|t| < (2/\pi)\ln m} \left| Z_m\left(\frac{1}{2} + it\right) - \zeta\left(\frac{1}{2} + it\right) \right|$$

حيث  $\|. .\|$  هو نظيم الفضاء  $[-(2/\pi)\ln m, (2/\pi)\ln m]$ .

والقيم في الجدول (2) مقربة لأقرب خمس منازل عشرية بعد الفاصلة.

وتم حساب القيم في الجدول (2) من خلال المقطع البرمجي التالي:

```
In[11]:= m = 20; n = 10; A := Table[Abs[CoefficientList[Product[(1 - t/i), {i, 1, m}], {j, 1, m+1}]];
F[t_] := Sum[A[[j+1]] * BernoulliB[j] / (t+j-1), {j, 0, m}];
G[t_] := Sum[A[[j+1]] * (-1)^j / (t+j-1), {j, 0, m}];
Z[t_] := F[t] / (G[t] * (t-1));
NMaximize[{Abs[Z[1/2 + x*I] - Zeta[1/2 + x*I]], -(2/Pi) * Log[m] <= x < (2/Pi) * Log[m]}, {x}][[1]]
Out[15]= 0.00387831
```

**الجدول (2)**

$n = 25$	$n = 15$	$n = 10$	$n = 5$	$n = 4$	$n = 3$	$n = 2$	$n = 1$	$n = 0$	$m = 10$
0.0018	0.0026	0.0036	0.0052	0.0058	0.0064	0.0071	0.0079	0.0090	$m = 10$
0.0017	0.0027	0.0036	0.0052	0.0057	0.0062	0.0069	0.0077	0.0086	$m = 11$
0.0018	0.0028	0.0037	0.0052	0.0056	0.0061	0.0067	0.0074	0.0082	$m = 12$
0.0019	0.0029	0.0037	0.0052	0.0056	0.0060	0.0066	0.0072	0.0079	$m = 13$
0.002	0.0029	0.0038	0.0051	0.0055	0.0059	0.0064	0.0070	0.0077	$m = 14$
0.0020	0.0038	0.0036	0.0051	0.0054	0.0058	0.0063	0.0068	0.0074	$m = 15$
0.0021	0.0030	0.0038	0.0050	0.0054	0.0057	0.0062	0.0067	0.0072	$m = 16$
0.0021	0.0030	0.0038	0.0050	0.0053	0.0057	0.0061	0.0065	0.0070	$m = 17$
0.0022	0.0031	0.0038	0.005	0.0053	0.0056	0.0059	0.0064	0.0068	$m = 18$
0.0022	0.0031	0.0038	0.0049	0.0052	0.0055	0.0058	0.0062	0.0067	$m = 19$
0.0022	0.0031	0.0038	0.0049	0.0051	0.0054	0.0058	0.0061	0.0065	$m = 20$

0.0024	0.0032	0.0038	0.0047	0.0049	0.0051	0.0054	0.0056	0.0059	$m = 25$
0.0025	0.0032	0.0038	0.0045	0.0047	0.0048	0.0050	0.0053	0.0055	$m = 30$
0.0027	0.0032	0.0036	0.0040	0.0041	0.0042	0.0043	0.0044	0.0045	$m = 50$
0.0027	0.0030	0.0031	0.0033	0.0034	0.0034	0.0035	0.0035	0.0035	$m = 10$

نلاحظ من الجدول (2) ما يلي:

1\_ من أجل  $m$  مثبتة و  $n$  متغيرة ، نلاحظ تناقص الخطأ بازدياد  $n$  .

2\_ من أجل  $n$  مثبتة و  $m$  متغيرة، ليس من الضروري تناقص او ازدياد الخطأ بازدياد  $m$  (لاحظ العمود  $n = 15$  والعمود  $n = 25$  ).

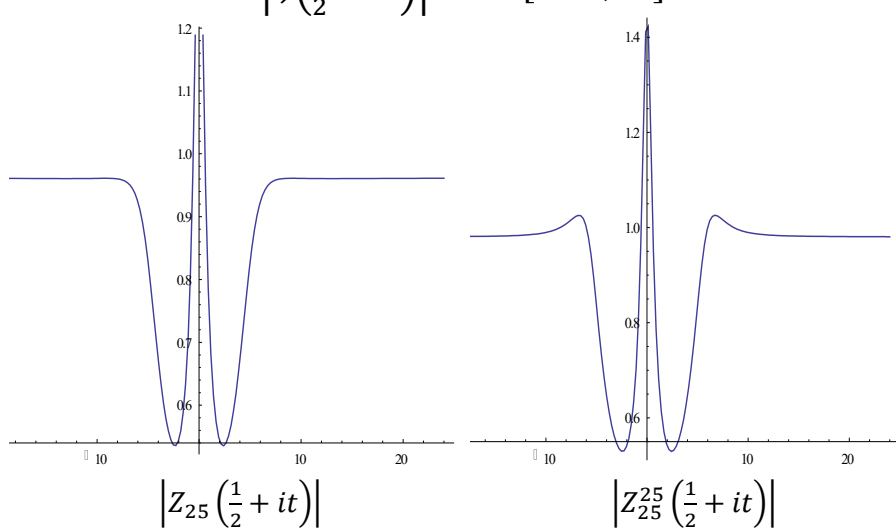
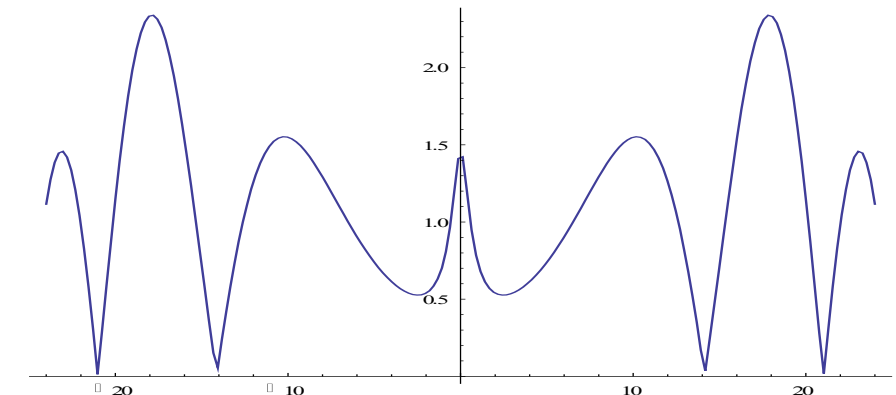
وأيضاً لاحظنا أثناء حساب القيم في الجدول (2) أن التعقيد الحسابي والזמן اللازم للحصول على تابع التقرير عند  $m$  كبيرة نسبياً و  $n = 0$  يكون أكبر عند  $n$  كبيرة نسبياً و  $m$  صغيرة.

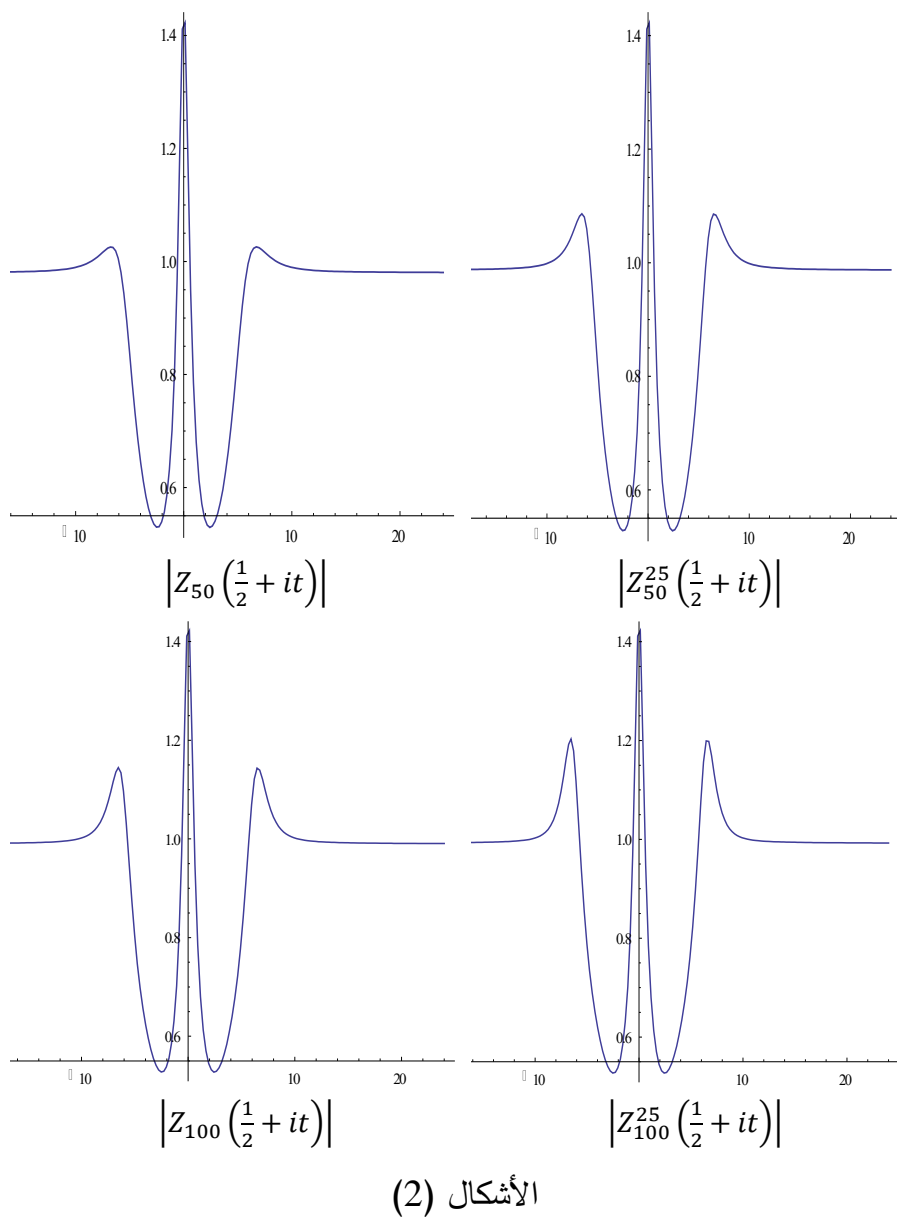
فمثلاً الزمن اللازم لبناء التابع  $Z_{100}$  حاسوبياً هو 845.104217 ثانية. والזמן اللازم لبناء التابع  $Z_{10}^{15}$  حاسوبياً هو 0.218402 ثانية. بالإضافة إلى أن الخطأ الناتج عن التقرير باستخدام  $Z_{100}$  أكبر من الخطأ الناتج عن التقرير باستخدام  $Z_{10}^{15}$ .

### 1\_3\_3 التقرير على مجال أكبر على المستقيم الحرج

قمنا برسم الأشكال (2) طويلاً تابعي التقرير  $Z_n^m$  من أجل  $n, m$  مختلفة على المجال [-24,24].

وذلك بهدف المقارنة بين مجال تقارب كل من  $Z_n^m$  و  $Z_n$  ، ولاحظنا أن المجال الذي يتقارب فيه  $Z_n^m$  من  $\zeta$  أكبر من مجال تقارب  $Z_n$  من  $\zeta$ .





والجدول (3) يوضح تقارب  $Z_m^n$  من التابع  $\zeta$  على المستقيم الحرج في المجال:

$$D_m^n = [-(2/\pi)\ln(m+n), +(2/\pi)\ln(m+n)]$$

حيث القيم في الجدول (3) الآتي هي:

$$\left\| Z_m^n \left( \frac{1}{2} + it \right) - \zeta \left( \frac{1}{2} + it \right) \right\| = \\ \max_{t \in D_m^n} \left| Z_m^n \left( \frac{1}{2} + it \right) - \zeta \left( \frac{1}{2} + it \right) \right|$$

حيث  $\|\cdot\|$  هو نظيم الفضاء  $C[D_m^n]$ .

وتم حساب القيم من خلال المقطع البرمجي التالي:

```
In[33]:= m = 10; n = 20; A := Table[Abs[CoefficientList[Product[(1 - t/i), {i, 1, m}], {j, 1, m+1}]];
F[t_] := Sum[(A[[j+1]] * BernoulliB[j]) / (t+j-1);
G[t_] := Sum[(A[[j+1]] * (-1)^j) / (t+j-1);
Z[t_] := F[t] / (G[t] * (t-1));
NMaximize[{Abs[Z[1/2 + x*I] - Zeta[1/2 + x*I]], -(2/Pi) * Log[m+n] <= x < (2/Pi) * Log[m+n]}, {x}][[1]]
Out[37]= 0.00558393
```

الجدول (3)

$n = 30$		$n = 20$		$n = 10$		
خطأ التقارب باستخدام $Z_m^{30}$ $D_m^{30}$ المجال	خطأ التقارب باستخدام في $Z_m$ المجال $D_m^{30}$	خطأ التقارب باستخدام $Z_m^{20}$ $D_m^{20}$ المجال	خطأ التقارب باستخدام في $Z_m$ المجال $D_m^{20}$	خطأ التقارب باستخدام $Z_m^{10}$ $D_m^{10}$ المجال	خطأ التقارب باستخدام في $Z_m$ المجال $D_m^{10}$	
0.00544	0.02607	0.00558	0.02123	0.00656	0.00791	$m = 10$
0.00438	0.0115	0.00472	0.00975	0.0052	0.00792	$m = 25$
0.00385	0.00685	0.00403	0.0061	0.00425	0.00533	$m = 50$
0.00352	0.00532	0.00364	0.00487	0.00378	0.0044	$m = 75$
0.0033	0.00455	0.00339	0.00423	0.00347	0.0039	$m = 100$

نلاحظ من الجدول (3) ما يلي:

- 1\_ تزايد قيمة الخطأ باستخدام  $Z_m^n$  في المجال  $D_m^n$  عند  $m$  متثبة و  $n$  متغيرة، أي يزداد خطأ التقريب باستخدام  $Z_m^n$  عندما يصبح المجال  $D_m^n$  أكبر.
- 2\_ تناقص قيمة الخطأ باستخدام  $Z_m^n$  في المجال  $D_m^n$  عند  $m$  متثبة و  $n$  متغيرة، أي تناقص خطأ التقريب باستخدام  $Z_m^n$  عندما يصبح المجال  $D_m^n$  أكبر.
- 3\_ نلاحظ أن قيمة خطأ التقريب باستخدام  $Z_m^n$  أقل من قيمة خطأ التقريب باستخدام  $Z_m$  في المجال  $D_m^n$  عند  $m, n$  مثبتان.
- 4\_ تناقص قيمة الخطأ باستخدام  $Z_m^n$  و  $Z_m$  في المجال  $D_m^n$  عند  $n$  متثبة و  $m$  متغيرة.

ومنه نلاحظ أن التابع  $Z_m^n$  يعطي تقريباً ذا دقة أكبر وفي مجال أكبر من التابع  $Z_m$ ، حيث مرتبة التقريب  $m$  مثبتة.

## REFERENCES

- [1] Ball, K., 2017. Rational approximations to the zeta function. *arXiv preprint arXiv:1706.07998*.
- [2] Blecher, D., 1997. Continuous functions on compact groups. *Proceedings of the American Mathematical Society*, 125(4), pp.1177-1185.
- [3] Borwein, P., Choi, S., Rooney, B. and Weirathmueller, A. eds., 2008. *The Riemann hypothesis: a resource for the aficionado and virtuoso alike* (Vol. 27). Springer Science & Business Media.
- [4] Ivic, A., 2012. *The Riemann zeta-function: theory and applications*. Courier Corporation.
- [5] Kölbig, K.S., 1970. Complex zeros of an incomplete Riemann zeta function and of the incomplete gamma function. *Mathematics of Computation*, 24(111), pp.679-696.
- [6] Odlyzko, A.M., 1989. Supercomputers and the Riemann zeta function. In *Supercomputing* (Vol. 89, pp. 348-352).
- [7] Riemann, B., 1859. *On the Number of Prime Numbers less than a Given Quantity.(Ueber die Anzahl der Primzahlen unter einer gegebenen Grösse.). Monatsberichte der Berliner Akademie*.
- [8] Tihanyi, N., Kovács, A. and Kovács, J., 2017. Computing extremely large values of the Riemann zeta function. *Journal of Grid Computing*, 15(4), pp.527-534.

لمزيد من الفائدة والاطلاع:

- [9] Ball, K.M., 2018. *Rational approximations to the zeta function II. arXiv preprint arXiv:1810.01613*.